


Będzin DW 910

G-13344/16

[illegible]

stratygrafia		Profil stratygraf.-litologiczny	Opis litologiczno- genetyczno- stratygraficzny	nr warstwy	symbol gruntu wg PN-86/B-02480	symbol konsolidacji gruntu	Stan gruntu		Wilgotność naturalna W_n %	Gęstość objętościowa ρ tm^{-3}	Spójność C_u kPa	Kąt tarcia wewnętrzznego ϕ_u °	Edometryczny moduł ściśliwości		Wartość jednostkowego oporu granicznego $(qu)t$ kPa	Wskaźnik piaskowy WP	Zawartość części organicznych lom %	PARAMETRY GEOTECHNICZNE NA PODSTAWIE BADAŃ SONDĄ STATYCZNĄ CPT												
							stopień zagęszczenia I_D	stopień plastyczności I_L					pierwotnej Mo MPa	wtórnej $M.$ MPa				stopień zagęszczenia I_D	stopień plastyczności I_L	Wytrzymałość na ścinanie S_u kPa	Kąt tarcia wewnętrzznego ϕ °	Moduł ściśliwości M MPa								
TRIAS	WAPIEŃ MUSZLOWY		zwietrzeliny gliniaste	UTWORY MORSKIE	IIIa1	$KWg(G_{\pi+w},Pg/G_{\pi z+w},G+w)$	C	0,10	21,0	2,05	22,1	16,4	37,2	62,0									$\alpha^{(n)}$							
										0,90	0,9	0,9											$\gamma^{(m)}$							
										1,85	19,9	14,8											$\alpha^{(r)}$							
					zwietrzeliny kamieniste	IIIa2	$KWg(\Pi+w, \Pi p//\Pi+w,Gz+w,Pg+w,G_{\pi}+w)$	C	0,00	18,0	2,15	30,0	18,0	48,4	81,3										$\alpha^{(n)}$					
											0,90	0,9	0,9												$\gamma^{(m)}$					
											1,93	27,0	16,2												$\alpha^{(r)}$					
						IIIb	$KW(w,w+\Pi,w+G_{\pi z})$									400*									$\alpha^{(n)}$					
																									$\gamma^{(m)}$					
																									$\alpha^{(r)}$					
KARBON	Karbon Górny -WESTFAL		węgiel	WARSTWY RUDZKIE	IVa	$KW(wk)$																$\alpha^{(n)}$								
																							$\gamma^{(m)}$							
																					$\alpha^{(r)}$									
					zwietrzeliny gliniaste	IVb1	$KWg(G_{\pi+ic},Pg+ic,G+ic,G+pc,)$	C	0,10	21,8*	2,00	22,1	16,4	37,2	62,0									$\alpha^{(n)}$						
											0,90	0,9	0,9											$\gamma^{(m)}$						
											1,80	19,9	14,8											$\alpha^{(r)}$						
						IVb2	$KWg(Pg,+pc,G+ic,G_{\pi}+li, \Pi p//P_{\pi})$	C	0,00	14,9*	2,00	30,0	18,0	48,4	81,3									$\alpha^{(n)}$						
											0,90	0,9	0,9											$\gamma^{(m)}$						
											1,80	27,0	16,2											$\alpha^{(r)}$						
						IVc1	$KWg(I+ic)$	D	0,10	27,0	2,00	54,3	11,7	30,6	38,3									$\alpha^{(n)}$						
											0,90	0,9	0,9											$\gamma^{(m)}$						
											1,80	48,9	10,5											$\alpha^{(r)}$						
					zwietrzeliny kamieniste	IVc2	$KWg(I//Ps,G_{\pi} z/I+ic,I+ic)$	D	0,00	19,0	2,15	60,0	13,0	39,3	49,0									$\alpha^{(n)}$						
											0,90	0,9	0,9											$\gamma^{(m)}$						
											1.94	54,0	11,7											$\alpha^{(r)}$						
							IVd	$KW (Pd+ \Pi, Ps+G+pc, Pd+ \Pi +pc, Pd+pc, P_{\pi} // \Pi p+pc, li+mc)$									400*								$\alpha^{(n)}$					
																													$\gamma^{(m)}$	
																													$\alpha^{(r)}$	

 tylko dla nasypów gliniastych w stanie plastycznym nie będących gruntami organicznymi

